

МИНИСТЕРСТВО НАУКИ И ВЫСШЕГО ОБРАЗОВАНИЯ РОССИЙСКОЙ  
ФЕДЕРАЦИИ  
ФЕДЕРАЛЬНОЕ ГОСУДАРСТВЕННОЕ БЮДЖЕТНОЕ ОБРАЗОВАТЕЛЬНОЕ  
УЧРЕЖДЕНИЕ ВЫСШЕГО ОБРАЗОВАНИЯ

«Московский государственный технический  
университет имени Н.Э. Баумана»  
(МГТУ им. Н.Э. Баумана)

ФАКУЛЬТЕТ ФУНДАМЕНТАЛЬНЫЕ НАУКИ  
КАФЕДРА  
«ВЫЧИСЛИТЕЛЬНАЯ МАТЕМАТИКА И МАТЕМАТИЧЕСКАЯ ФИЗИКА»

Направление: **Математика и компьютерные науки**

Дисциплина: Теория случайных процессов

Домашняя работа №5

«Моделирование двумерного винеровского процесса»

Группа ФН11-63Б

Вариант 2

Студент: Айгистова Д.Р.

Преподаватель: Облакова Т.В.

Оценка:

Москва 2023

## Задание

1. На интервале  $[0, T]$  смоделируйте  $n$  траекторий двумерного винеровского процесса интенсивности  $\sigma$  с шагом  $\frac{h}{2}$ .
2. Выведите на печать 5-7 траекторий (каждую на отдельном рисунке с шагом  $h$  и  $\frac{h}{2}$ ).
3. Для каждой траектории вычислите:
  - 1) Вариации компонент  $\left(\sum_k |W_{(k+1)h}^{(1)} - W_{kh}^{(1)}|, \sum_k |W_{(k+1)h}^{(2)} - W_{kh}^{(2)}|\right)$ . Найдите среднее значение вариации  $(Var^{(1)}(h), Var^{(2)}(h))$  по всем траекториям.
  - 2) Суммы квадратов приращений компонент  $\left(\sum_k |W_{(k+1)h}^{(1)} - W_{kh}^{(1)}|^2, \sum_k |W_{(k+1)h}^{(2)} - W_{kh}^{(2)}|^2\right)$ . Найдите среднее значение этих сумм  $(SqVar^{(1)}(h), SqVar^{(2)}(h))$ .
4. Уменьшите значение  $h$  в два раза и вычислите  $(Var^{(1)}(\frac{h}{2}), Var^{(2)}(\frac{h}{2}))$  и  $(SqVar^{(1)}(\frac{h}{2}), SqVar^{(2)}(\frac{h}{2}))$ . Сравните полученные значения для исходного и уменьшенного шага и объясните результат.
5. Вычислите теоретическую вероятность  $P(|\overline{W}_T| \geq z)$  и сравните её с эмпирической вероятностью достижения указанного уровня  $z$  в момент  $T$ .
6. Задавшись некоторым значением  $z_1$ , экспериментально исследовать закон распределения момента  $\tau_{z_1} = \inf\{t > 0 | |\overline{W}_t| \geq z_1\}$  первого достижения уровня  $z_1$ . Для этого каждую из  $n$  траекторий надо продолжать моделировать до момента  $\tau_{z_1} = \tau_{z_1}(n)$ . Собранную статистику  $\tau_{z_1}(1), \tau_{z_1}(2), \dots, \tau_{z_1}(n)$  подвергнуть первоначальной обработке (группировка, гистограмма относительных частот).  
Сформулировать выводы.

### Входные данные:

$T$ : 10  
 $n$ : 120  
 $\sigma$ : 0.6  
 $h$ : 0.05  
 $z$ : 3

## Решение

### 1. Моделирование траекторий двумерного винеровского процесса

$$N = \frac{T}{h} = 200$$

- 1) Полагаем  $\overline{W}_0 = (0, 0)$ .
- 2) Смоделируем  $2N$  пар СВ  $(\xi_k^{(1)}, \xi_k^{(2)})$  с независимыми компонентами, распределёнными по закону  $N\left(0, \sigma\sqrt{\frac{h}{2}}\right)$ . Тогда для моделирования винеровского процесса с шагом  $h$  в качестве приращений будем использовать суммы вида  $(\xi_{2k-1}^{(1)} + \xi_{2k}^{(1)}, \xi_{2k-1}^{(2)} + \xi_{2k}^{(2)})$ , компоненты которых

распределены  $N(0, \sigma\sqrt{h})$  по свойствам нормального закона.

$$\xi_k^{(1)} = (-0.0125, -0.0437, 0.0629, \dots, -0.2059, -0.067, -0.041)$$

$$\xi_k^{(2)} = (-0.0684, -0.1066, 0.0869, \dots, 0.0376, 0.1176, -0.1539)$$

$$3) \text{ Вычисляем } (W_{(k+1)h}^{(1)}, W_{(k+1)h}^{(2)}) = (W_{kh}^{(1)}, W_{kh}^{(2)}) + (\xi_{2k-1}^{(1)} + \xi_{2k}^{(1)}, \xi_{2k-1}^{(2)} + \xi_{2k}^{(2)})$$

$$(W_h^{(1)}, W_h^{(2)}) = (0, 0) + (-0.0125 - 0.0437, -0.0684 - 0.1066) = (-0.0562, -0.175)$$

и так далее.

4) Получаем последовательность точек  $(W_{kh}^{(1)}, W_{kh}^{(2)})$ . Соединяем эти точки для наглядности отрезками прямых, получаем смоделированную траекторию.

## 2. Вывод траекторий и их визуализация

Графическое изображение нескольких получившихся траекторий представлено на Рис. 1, а ниже представлены сами траектории (1 - 6):

### Траектория №1

$$W_{kh}^{(1)} = (0.0, -0.0562, -0.1194, \dots, -2.2005, -2.3153, -2.4233)$$

$$W_{kh}^{(2)} = (0.0, -0.175, -0.0675, \dots, 2.202, 2.3932, 2.3568)$$

### Траектория №2

$$W_{kh}^{(1)} = (0.0, -0.0118, -0.1663, \dots, -3.5556, -3.4468, -3.384)$$

$$W_{kh}^{(2)} = (0.0, -0.0179, -0.0691, \dots, -1.7461, -1.6954, -1.6564)$$

### Траектория №3

$$W_{kh}^{(1)} = (0.0, -0.1454, -0.1288, \dots, 2.1715, 2.4543, 2.2074)$$

$$W_{kh}^{(2)} = (0.0, 0.1055, 0.1783, \dots, -1.2885, -1.1967, -1.3264)$$

### Траектория №4

$$W_{kh}^{(1)} = (0.0, -0.0329, 0.0545, \dots, -3.3817, -3.3716, -3.4244)$$

$$W_{kh}^{(2)} = (0.0, -0.0977, -0.1535, \dots, 0.163, 0.1222, 0.1491)$$

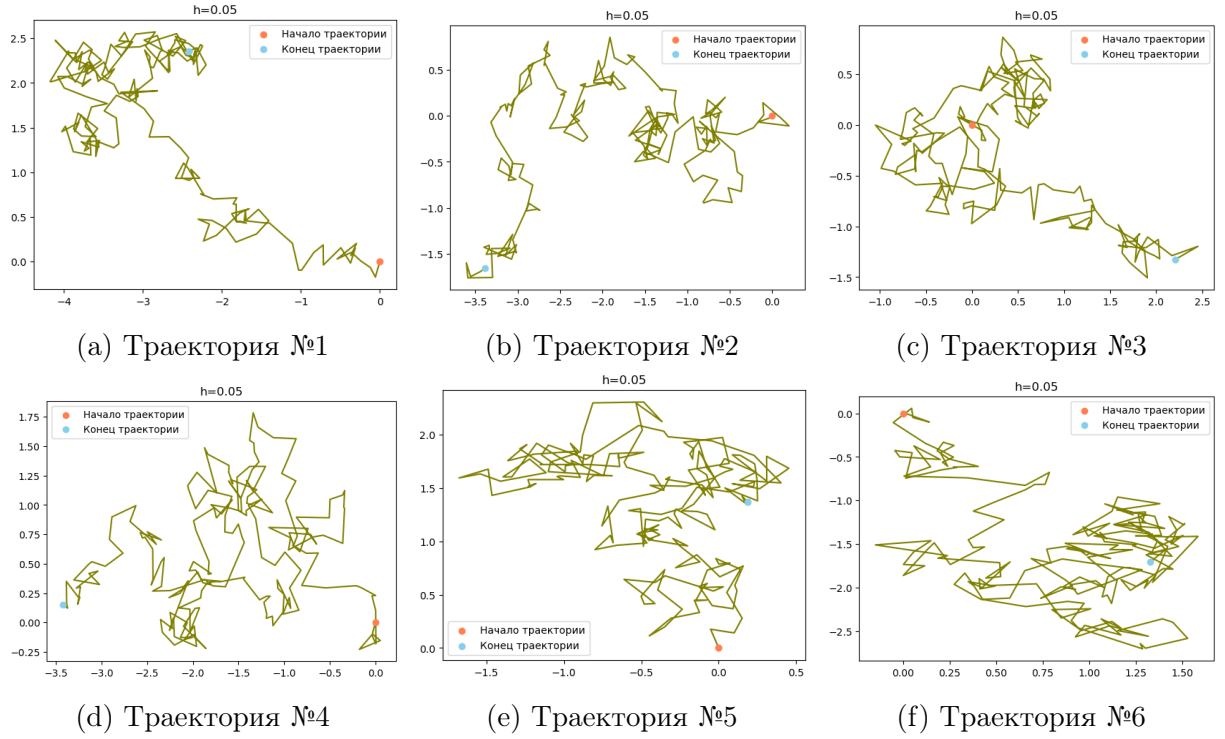


Рис. 1: Траектории двумерного винеровского процесса, смоделированного с шагом  $h = 0.05$

### Траектория №5

$$W_{kh}^{(1)} = (0.0, -0.0526, 0.0996, \dots, 0.1754, 0.1505, 0.1874)$$

$$W_{kh}^{(2)} = (0.0, 0.1761, 0.1413, \dots, 1.3533, 1.4246, 1.3669)$$

### Траектория №6

$$W_{kh}^{(1)} = (0.0, -0.0077, 0.1402, \dots, 1.3191, 1.4116, 1.3272)$$

$$W_{kh}^{(2)} = (0.0, 0.0166, -0.0993, \dots, -1.6099, -1.562, -1.7084)$$

## 3. Вычисления

1) Вариации компонент  $\left( \sum_k |W_{(k+1)h}^{(1)} - W_{kh}^{(1)}|, \sum_k |W_{(k+1)h}^{(2)} - W_{kh}^{(2)}| \right)$  для каждой траектории:

$$(24.1959, 22.2625)$$

$$(20.4868, 21.6810)$$

$$(22.4155, 21.1007)$$

...

$$(22.2207, 19.9977)$$

$$(20.2204, 19.1441)$$

$$(21.0824, 21.4758)$$

Среднее значение вариации  $(Var^{(1)}(h), Var^{(2)}(h))$  по всем траекториям:

$$(21.4339, 21.4522)$$

2) Суммы квадратов приращений компонент  $(\sum_k |W_{(k+1)h}^{(1)} - W_{kh}^{(1)}|^2, \sum_k |W_{(k+1)h}^{(2)} - W_{kh}^{(2)}|^2)$  для каждой траектории:

$$(4.4023, 3.6970)$$

$$(3.2852, 3.7181)$$

$$(4.0283, 3.6421)$$

...

$$(3.5856, 2.9863)$$

$$(3.3007, 2.9323)$$

$$(3.7021, 3.5869)$$

Среднее значение этих сумм  $(SqVar^{(1)}(h), SqVar^{(2)}(h))$  по всем траекториям:

$$(3.5934, 3.5986)$$

**4. Уменьшаем  $h$  в два раза и повторяем пункты 1-3 с новым  $h$**

$$\frac{h}{2} = 0.025$$

Смоделируем и изобразим траектории с новым значением  $\frac{h}{2} = 0.025$

Графическое изображение нескольких получившихся траекторий представлено на Рис. 2, а ниже представлены сами траектории (1 - 6):

**Траектория №1**

$$W_{k\frac{h}{2}}^{(1)} = (0.0, -0.0125, -0.0562, \dots, -2.3153, -2.3823, -2.4233)$$

$$W_{k\frac{h}{2}}^{(2)} = (0.0, -0.0684, -0.175, \dots, 2.3932, 2.5108, 2.3568)$$

**Траектория №2**

$$W_{k\frac{h}{2}}^{(1)} = (0.0, -0.0234, -0.0118, \dots, -3.4468, -3.424, -3.384)$$

$$W_{k\frac{h}{2}}^{(2)} = (0.0, -0.05, -0.0179, \dots, -1.6954, -1.6811, -1.6564)$$

### Траектория №3

$$W_{k\frac{h}{2}}^{(1)} = (0.0, -0.1777, -0.1454, \dots, 2.4543, 2.3409, 2.2074)$$

$$W_{k\frac{h}{2}}^{(2)} = (0.0, 0.2085, 0.1055, \dots, -1.1967, -1.2652, -1.3264)$$

### Траектория №4

$$W_{k\frac{h}{2}}^{(1)} = (0.0, -0.0643, -0.0329, \dots, -3.3716, -3.4061, -3.4244)$$

$$W_{k\frac{h}{2}}^{(2)} = (0.0, 0.0075, -0.0977, \dots, 0.1222, 0.0612, 0.1491)$$

### Траектория №5

$$W_{k\frac{h}{2}}^{(1)} = (0.0, -0.1124, -0.0526, \dots, 0.1505, 0.2774, 0.1874)$$

$$W_{k\frac{h}{2}}^{(2)} = (0.0, 0.1914, 0.1761, \dots, 1.4246, 1.4649, 1.3669)$$

### Траектория №6

$$W_{k\frac{h}{2}}^{(1)} = (0.0, 0.0463, -0.0077, \dots, 1.4116, 1.4275, 1.3272)$$

$$W_{k\frac{h}{2}}^{(2)} = (0.0, -0.1173, 0.0166, \dots, -1.562, -1.7428, -1.7084)$$

Вычислим:

1) Вариации компонент  $\left( \sum_k |W_{(k+1)\frac{h}{2}}^{(1)} - W_{k\frac{h}{2}}^{(1)}|, \sum_k |W_{(k+1)\frac{h}{2}}^{(2)} - W_{k\frac{h}{2}}^{(2)}| \right)$  для каждой траектории:

$$(33.5606, 31.3327)$$

$$(29.6476, 30.6999)$$

$$(29.8537, 30.3046)$$

...

$$(30.6551, 28.5061)$$

$$(28.9402, 30.1666)$$

$$(30.2751, 30.3372)$$

Среднее значение вариации  $\left( Var^{(1)}\left(\frac{h}{2}\right), Var^{(2)}\left(\frac{h}{2}\right) \right)$  по всем траекториям:

$$(30.2481, 30.3853)$$

2) Суммы квадратов приращений компонент  $\left( \sum_k |W_{(k+1)\frac{h}{2}}^{(1)} - W_{k\frac{h}{2}}^{(1)}|^2, \sum_k |W_{(k+1)\frac{h}{2}}^{(2)} - W_{k\frac{h}{2}}^{(2)}|^2 \right)$  для каждой траектории:

$$(4.256, 3.8783)$$

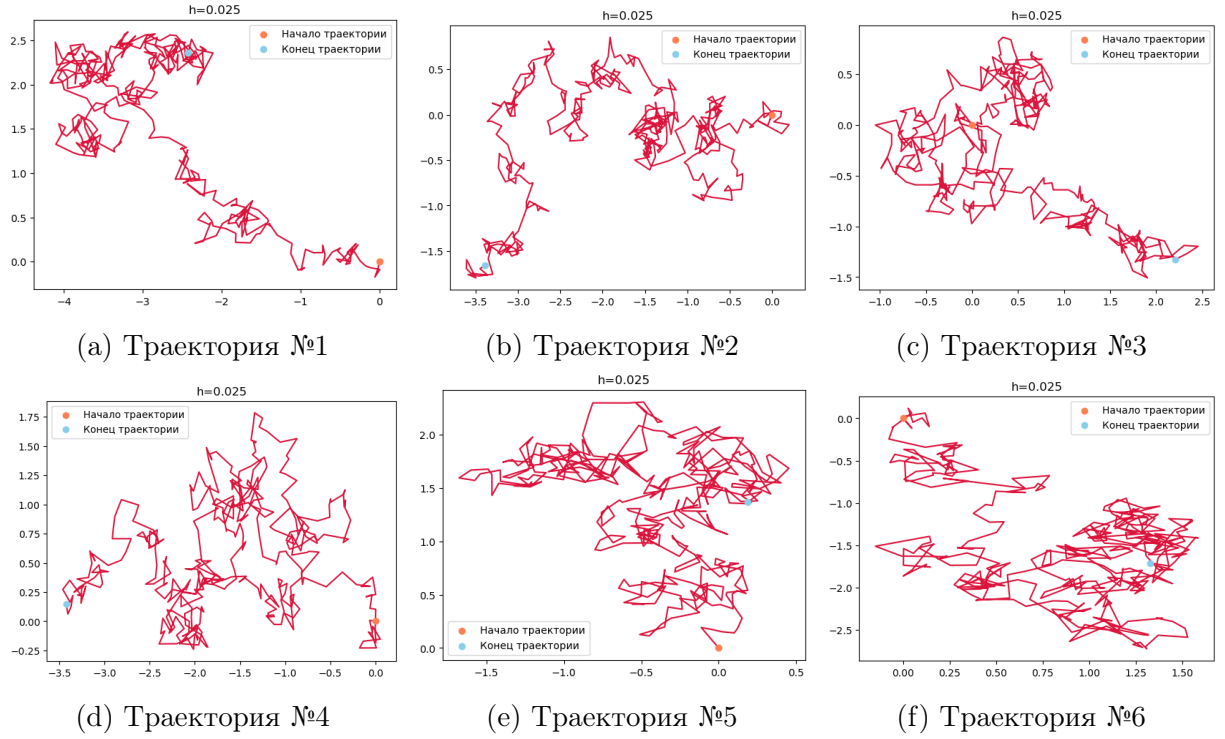


Рис. 2: Траектории двумерного винеровского процесса, смоделированного с шагом  $\frac{h}{2} = 0.025$

(3.3652, 3.6119)  
 (3.608, 3.6927)  
 ...  
 (3.6887, 3.1484)  
 (3.2207, 3.4858)  
 (3.5819, 3.6875)

Среднее значение этих сумм  $(SqVar^{(1)}(\frac{h}{2}), SqVar^{(2)}(\frac{h}{2}))$  по всем траекториям:

(3.5963, 3.6204)

### Рассмотрим совместные графики траекторий с разными $h$

На Рис. 3 представлены совместные графики траекторий 1 - 6.

На получившихся графиках присутствует много линий, поэтому для более детального рассмотрения, изобразим только несколько шагов (см. Рис. 4).

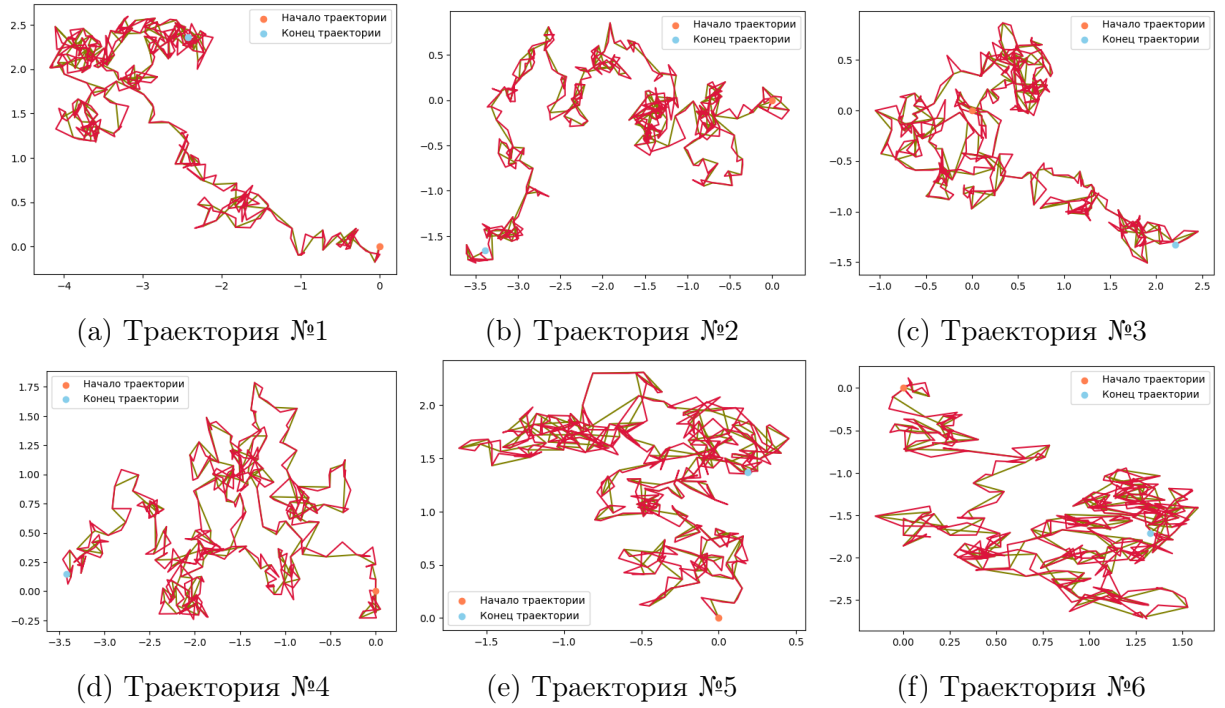


Рис. 3: Совместные графики траекторий двумерного винеровского процесса, смоделированного с шагом  $h = 0.05$  и  $\frac{h}{2} = 0.025$

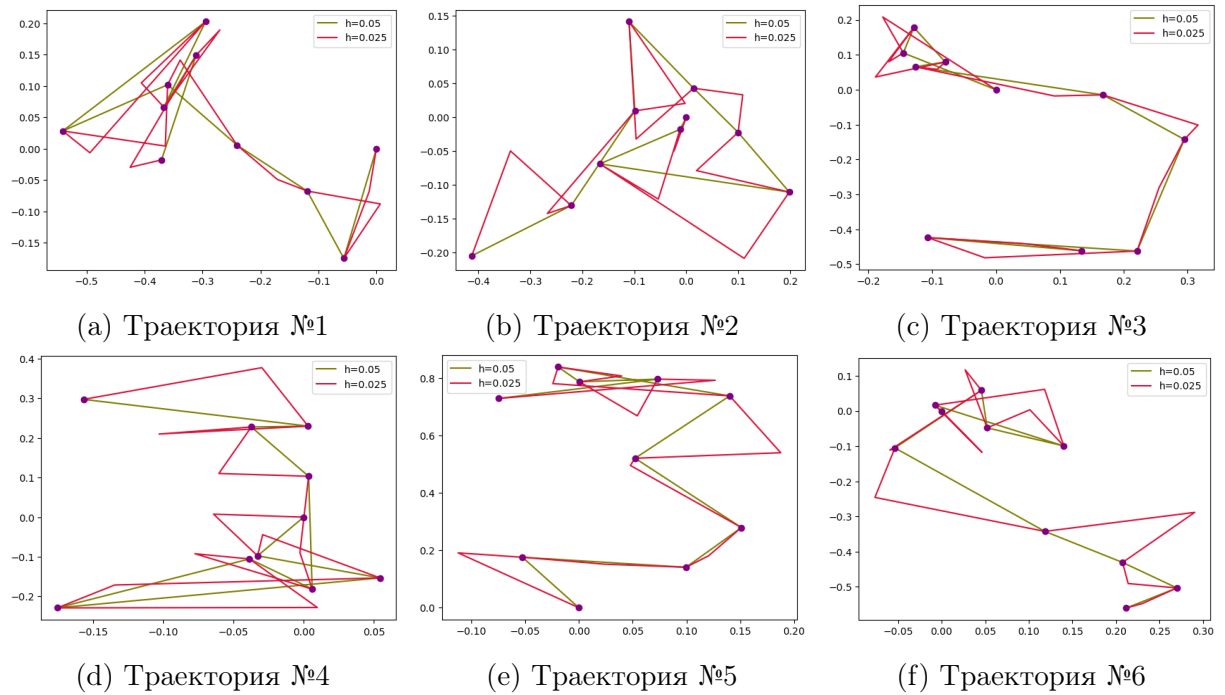


Рис. 4: Совместные графики 10-ти и 19-ти шагов траекторий двумерного винеровского процесса, смоделированного с  $h = 0.05$  и  $\frac{h}{2} = 0.025$  соответственно



**Сравним**  $(Var^{(1)}(h), Var^{(2)}(h))$  и  $(Var^{(1)}(\frac{h}{2}), Var^{(2)}(\frac{h}{2}))$ :

$$\begin{aligned} (Var^{(1)}(h), Var^{(2)}(h)) &= (21.4339, 21.4522) \\ \left(Var^{(1)}\left(\frac{h}{2}\right), Var^{(2)}\left(\frac{h}{2}\right)\right) &= (30.2481, 30.3853) \end{aligned}$$

**Сравним**  $(SqVar^{(1)}(h), SqVar^{(2)}(h))$  и  $(SqVar^{(1)}(\frac{h}{2}), SqVar^{(2)}(\frac{h}{2}))$ :

$$\begin{aligned} (SqVar^{(1)}(h), SqVar^{(2)}(h)) &= (3.5934, 3.5986) \\ \left(SqVar^{(1)}\left(\frac{h}{2}\right), SqVar^{(2)}\left(\frac{h}{2}\right)\right) &= (3.5963, 3.6204) \end{aligned}$$

Видно, что с измельчением разбиения среднее значение вариаций компонент увеличилось, а среднее значение суммы квадратов приращений компонент существенно не изменилось. Можно сделать вывод о том, что для винеровского процесса при измельчении разбиения сумма приращений стремится к бесконечности, а сумма квадратов приращений стремится к дисперсии, которая равна  $T\sigma^2 = 3.6$ .

## 5. Вычисление теоретической и эмпирической вероятностей достижения указанного уровня $z$ в момент $T$

1) Теоретическая вероятность

$$\begin{aligned} P(|\bar{W}_T| \geq z) &= P\left(\sqrt{(W_T^{(1)})^2 + (W_T^{(2)})^2} \geq z\right) = P\left(\sqrt{\left(\frac{W_T^{(1)}}{\sigma\sqrt{T}}\right)^2 + \left(\frac{W_T^{(2)}}{\sigma\sqrt{T}}\right)^2} \geq \frac{z}{\sigma\sqrt{T}}\right) = \\ &= P\left(\left(\frac{W_T^{(1)}}{\sigma\sqrt{T}}\right)^2 + \left(\frac{W_T^{(2)}}{\sigma\sqrt{T}}\right)^2 \geq \left(\frac{z}{\sigma\sqrt{T}}\right)^2\right), \end{aligned}$$

где  $\left(\frac{W_T^{(1)}}{\sigma\sqrt{T}}\right)$  и  $\frac{W_T^{(2)}}{\sigma\sqrt{T}}$  – независимые случайные величины, распределённые по стандартному нормальному закону, следовательно,  $\left(\frac{W_T^{(1)}}{\sigma\sqrt{T}}\right)^2 + \left(\frac{W_T^{(2)}}{\sigma\sqrt{T}}\right)^2 \sim \chi^2(2)$ .

Тогда:

$$\begin{aligned} &P\left(\left(\frac{W_T^{(1)}}{\sigma\sqrt{T}}\right)^2 + \left(\frac{W_T^{(2)}}{\sigma\sqrt{T}}\right)^2 \geq \left(\frac{z}{\sigma\sqrt{T}}\right)^2\right) = \\ &= 1 - P\left(\left(\frac{W_T^{(1)}}{\sigma\sqrt{T}}\right)^2 + \left(\frac{W_T^{(2)}}{\sigma\sqrt{T}}\right)^2 < \left(\frac{z}{\sigma\sqrt{T}}\right)^2\right) = 1 - F_{\chi^2(2)}\left(\left(\frac{z}{\sigma\sqrt{T}}\right)^2\right) = 1 - F_{\chi^2(2)}\left(\frac{z^2}{\sigma^2 T}\right) = \\ &= 1 - F_{\chi^2(2)}(2.5) = 1 - 0.7135 = 0.2865 \end{aligned}$$

2) Эмпирическая вероятность

Для вычисления эмпирической вероятности достижения указанного уровня  $z$  в момент  $T$

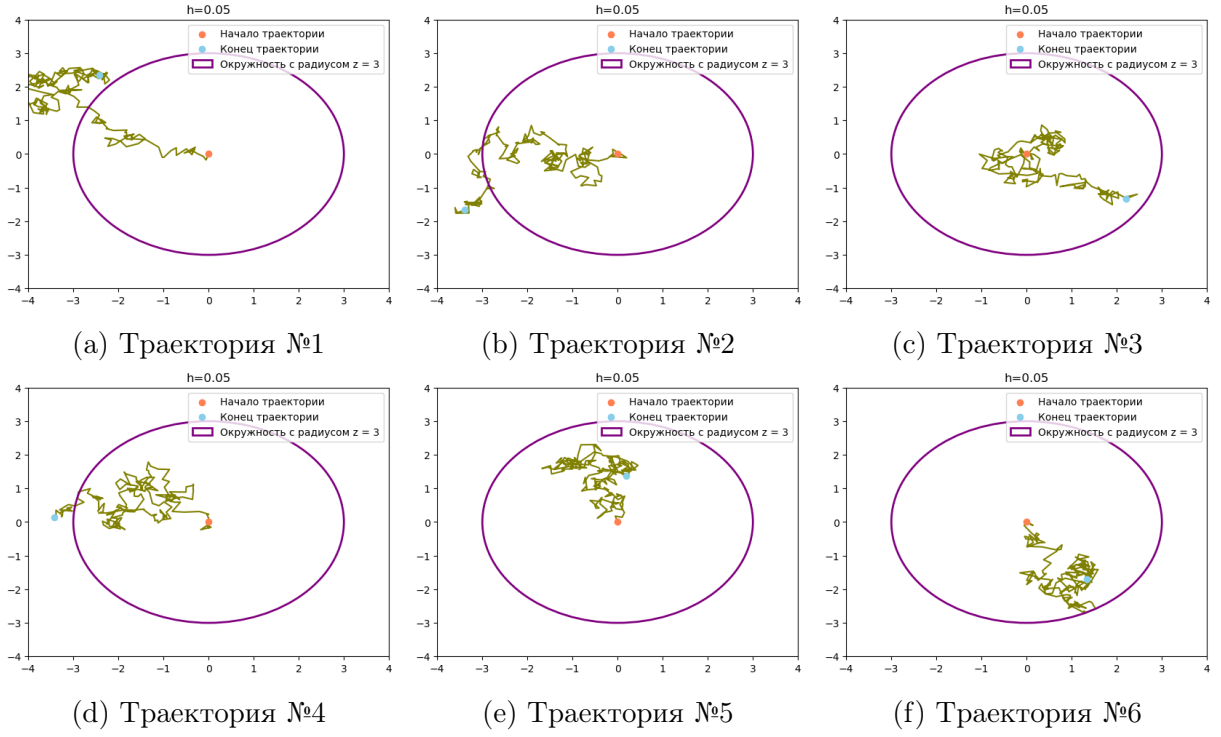


Рис. 5: Траектории двумерного винеровского процесса, смоделированного с шагом  $\frac{h}{2} = 0.05$  относительно окружности с радиусом  $z = 3$

найдем количество траекторий, которые в момент времени  $T = 10$  находятся за пределами окружности радиуса  $z = 3$ . Получаем, что в момент времени  $T = 10$  за пределами окружности радиуса  $z = 3$  находятся 32 траектории, тогда

$$P(|\overline{W}_T| \geq z) = \frac{32}{n} = \frac{32}{120} = 0.2667$$

На Рис. 5 изображены несколько траекторий (1-6) и окружность с радиусом  $z = 3$ .

## 6. Экспериментальное исследование закона распределения момента $\tau_{z_1} = \inf\{t > 0 \mid |\overline{W}_t| \geq z_1\}$ первого достижения уровня $z_1$

Пусть теперь:

$$z_1 = 2$$

Получаем, что 114 траекторий из 120 достигают уровень  $z_1$ , следовательно, вероятность достижения уровня  $z_1$  равняется 0.95.

Рассмотрим множество моментов  $\tau_{z_1}$ :

$$\tilde{T} = (0.85, 2.75, 7.9, 0.9, 3.1, \dots, 2.15, 1.45, 5.15, 2.9, 2.05)$$

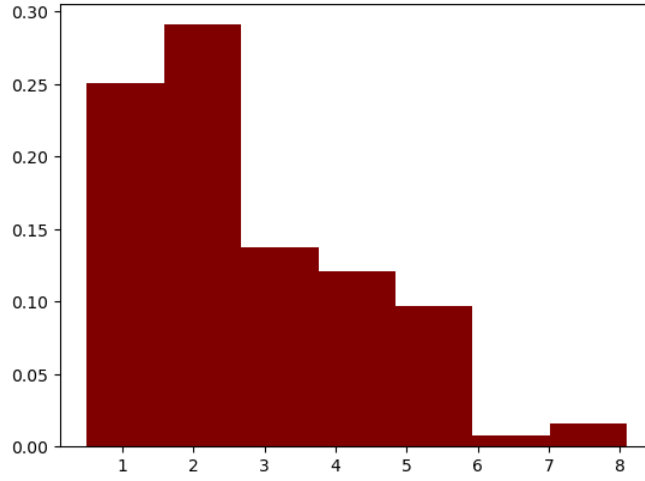


Рис. 6: Распределение момента  $\tau_{z_1} = \inf\{t > 0 \mid |\overline{W}_t| \geq z_1\}$  при  $z_1 = 2$

Минимальное значение  $\tau_{z_1} = 0.5$   
 Максимальное значение  $\tau_{z_1} = 8.1$   
 Выборочное среднее: 2.7803

Пусть теперь:

$$z_1 = 7$$

Тогда получаем, что 71 траектория из 120 достигает уровень  $z_1$ , следовательно, вероятность достижения уровня  $z_1$  равняется 0.5917.

Рассмотрим множество моментов  $\tau_{z_1}$ :

$$\tilde{T} = (8.5, 6.65, 6.2, 5.75, 2.9, \dots, 4, 6, 9.75, 6.65, 3.55, 2.9)$$

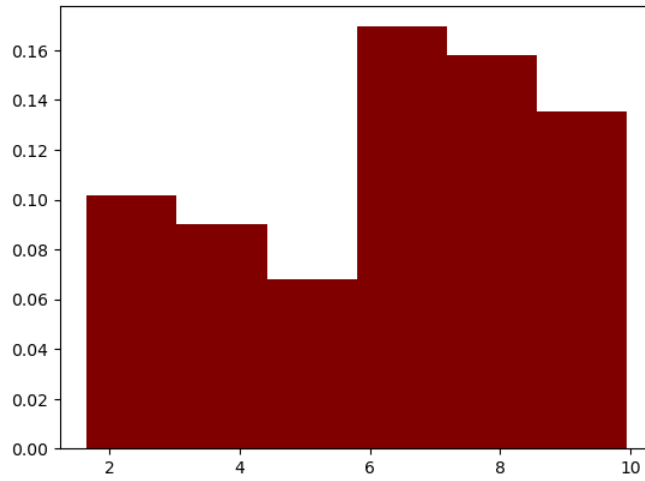


Рис. 7: Распределение момента  $\tau_{z_1} = \inf\{t > 0 \mid |\overline{W}_t| \geq z_1\}$  при  $z_1 = 7$

Минимальное значение  $\tau_{z_1} = 1.65$   
 Максимальное значение  $\tau_{z_1} = 9.95$   
 Выборочное среднее: 6.2586

В процессе перебора значений  $z_1$  экспериментально подтверждается логичный вывод о том, что с ростом  $z_1$  выборочное среднее растёт, а количество элементов в множестве моментов  $\tau_{z_1}$  уменьшается.

## Выводы

В ходе работы были выполнены все пункты поставленного задания. Смоделированы траектории двумерного винеровского процесса и на их основе проведены необходимые расчёты. Траектории визуализированы. Ключевые выводы сделаны в ходе работы и приведены в отчёте в соответствующих пунктах.

# Код

Работа выполнена на языке программирования *Python*  
Ниже представлены основные фрагменты кода:

```
# Формирование двумерного винеровского процесса

W1 = []
W2 = []
XI = []
tau = []
for i in range(n):
    w11 = np.zeros(N1 + 1)
    w12 = np.zeros(N1 + 1)
    w21 = np.zeros(N2 + 1)
    w22 = np.zeros(N2 + 1)
    xi1 = np.random.normal(0, sigma*np.sqrt(h/2), 2*N1)
    xi2 = np.random.normal(0, sigma*np.sqrt(h/2), 2*N1)
    XI.append((xi1, xi2))
    flag = True
    for j in range(0, N1):
        w11[j + 1] = w11[j] + xi1[2*j] + xi1[2*j + 1]
        w12[j + 1] = w12[j] + xi2[2*j] + xi2[2*j + 1]
        if (w11[j + 1] ** 2 + w12[j + 1] ** 2 >= z1 and flag):
            tau.append((j + 1) * h)
            flag = False
    for j in range(0, N2):
        w21[j + 1] = w21[j] + xi1[j]
        w22[j + 1] = w22[j] + xi2[j]

    W1.append((w11, w12))
    W2.append((w21, w22))

# Вычисление характеристик двумерного винеровского процесса

# Вариации компонент
VAR = []
for i in range(n):
    var1 = 0
    var2 = 0
    for j in range(N1):
        var1 += abs(W1[i][0][j + 1] - W1[i][0][j])
        var2 += abs(W1[i][1][j + 1] - W1[i][1][j])
    VAR.append((var1, var2))

print("Вариации компонент для каждой траектории: ")
```

```

for i in range(3):
    print(f"({round(VAR[i][0], 4)},\:{round(VAR[i][1], 4)})\\")
print("\dots\\")
for i in range(len(VAR) - 1, len(VAR) - 4, -1):
    print(f"({round(VAR[i][0], 4)},\:{round(VAR[i][1], 4)})\\")

# Среднее значение вариации
sum_x = 0
sum_y = 0
for i in range(len(VAR)):
    sum_x += VAR[i][0]
    sum_y += VAR[i][1]
print()
print("Среднее значение вариации: ")
print(f"({round(sum_x / len(VAR), 4)},\:{round(sum_y / len(VAR), 4)})\\")

# Суммы квадратов приращений компонент
sqVAR = []
for i in range(n):
    sqvar1 = 0
    sqvar2 = 0
    for j in range(N1):
        sqvar1 += abs(W1[i][0][j + 1] - W1[i][0][j]) ** 2
        sqvar2 += abs(W1[i][1][j + 1] - W1[i][1][j]) ** 2
    sqVAR.append((sqvar1, sqvar2))
print()
print("Суммы квадратов приращений компонент: ")

for i in range(3):
    print(f"({round(sqVAR[i][0], 4)},\:{round(sqVAR[i][1], 4)})\\")
print("\dots\\")
for i in range(len(sqVAR) - 1, len(sqVAR) - 4, -1):
    print(f"({round(sqVAR[i][0], 4)},\:{round(sqVAR[i][1], 4)})\\")

# Среднее значение этих сумм
sum_x = 0
sum_y = 0
for i in range(len(sqVAR)):
    sum_x += sqVAR[i][0]
    sum_y += sqVAR[i][1]
print()
print("Среднее значение этих сумм: ")
print(f"({round(sum_x / len(sqVAR), 4)},\:{round(sum_y / len(sqVAR), 4)})\\")

# Вычисление вероятностей
sum = 0

```

```
for i in range(n):
    if np.sqrt(W2[i][0][-1] ** 2 + W2[i][1][-1] ** 2) >= z:
        sum += 1
print("Эмпирическая вероятность: ")
print(sum)
print(round(sum / n, 4))
```

## Приложение

По ссылке доступны анимации нескольких траекторий двумерного винеровского процесса с разными значениями  $h$ :

<https://drive.google.com/drive/u/0/folders/1s135Jp4ajqwqzWktuiP-1951CArbTDcp>

